



Rijksinstituut voor Volksgezondheid
en Milieu
*Ministerie van Volksgezondheid,
Welzijn en Sport*

**Gammastralingsniveaumetingen aan de
terreingrens van COVRA N.V. te
Borsele in 2018 met het MONET-meetnet**

RIVM Briefrapport 2019-0107
C.P. Tanzi



Rijksinstituut voor Volksgezondheid
en Milieu
*Ministerie van Volksgezondheid,
Welzijn en Sport*

**Gammastralingsniveaumetingen aan de
terreingrens van COVRA N.V. te
Borsele in 2018 met het MONET-meetnet**

RIVM Briefrapport 2019-0107
C.P. Tanzi

Colofon

© RIVM 2019

Delen uit deze publicatie mogen worden overgenomen op voorwaarde van bronvermelding: Rijksinstituut voor Volksgezondheid en Milieu (RIVM), de titel van de publicatie en het jaar van uitgave.

DOI 10.21945/RIVM-2019-0107

C.P. Tanzi (auteur), RIVM

Contact:

Cristina P. Tanzi

cristina.tanzi@rivm.nl

Dit onderzoek werd verricht in opdracht van ANVS, in het kader van M/390120/19/SM

Dit is een uitgave van:

**Rijksinstituut voor Volksgezondheid
en Milieu**

Postbus 1 | 3720 BA Bilthoven

Nederland

www.rivm.nl

Publiekssamenvatting

Gammastralingsniveaumetingen rond het terrein van COVRA N.V. te Borsele in 2018 met het MONET-meetnet

Het gammastralingsniveau aan de terreingrens van de Centrale Organisatie voor Radioactief Afval (COVRA N.V.) te Borsele lag in 2018 onder het toegestane maximum van 40 microsievert per jaar. De hoogste vastgestelde dosis is 3,0 microsievert. Dit blijkt uit controlemetingen van het RIVM. Het RIVM rapporteert jaarlijks in opdracht van de Autoriteit Nucleaire Veiligheid en Stralingsbescherming (ANVS) en toetst of COVRA N.V. aan de vergunningseis voldoet.

COVRA N.V. moet ervoor zorgen dat personen buiten de terreingrens aan maximaal 40 microsievert per jaar worden blootgesteld. Dat is in de kernenergiewetvergunning vastgesteld. Om de maximale effectieve dosis te berekenen wordt het gammastralingsniveau op twaalf locaties langs de terreingrens gemeten. Dit gebeurt met het door het RIVM beheerde MONET-meetnet. Van de metingen wordt vervolgens de hoeveelheid die van nature voorkomt afgetrokken (natuurlijke achtergrondwaarde).

De resulterende meetwaarde wordt gecorrigeerd met de zogeheten Actuele Blootstellingen Correctiefactor (ABC-factor). Een ABC-factor hangt samen met de bestemming van het gebied waar de effectieve gammastralingsdosis kan worden opgelopen. Na het gebruik van de ABC-factor is de berekende maximale effectieve gammadosis 3,0 microsievert per jaar. Dit is ruim onder de maximaal toegestane jaarlijkse limiet.

In dit rapport zijn de daggemiddelden van de metingen van de twaalf MONET-monitoren aan de terreingrens van COVRA N.V. in 2018 weergegeven. Ook wordt uitgelegd hoe voor elk meetpunt de natuurlijke achtergrondwaarde is bepaald.

Kernwoorden: gammastraling, omgevingsdosisequivalent, COVRA, radioactief afval, opslag

Synopsis

Gamma radiation level measurements around the site of COVRA N.V. at Borsele with the MONET network in 2018

In 2018, the radiation level caused by gamma radiation at the site boundary of COVRA N.V., the Central Organisation for Radioactive Waste, was below the maximum permitted level of 40 microsievert per year. The maximum annual gamma dose is 3.0 microsievert. This is the level found by the analysis of measurements carried out by RIVM. RIVM is tasked by the Authority of Nuclear Safety and Radiation Protection (ANVS) to report annually on whether COVRA N.V. meets the criterion specified in its operating license.

COVRA N.V. is required to ensure that the maximum effective dose received by persons outside the site boundary of COVRA N.V. does not exceed 40 microsievert annually, as specified in its operating license. In order to determine the maximum effective dose, gamma radiation is measured at twelve locations along the site boundary. The measurements are carried out within the framework of the MONET monitoring network, which falls under the administrative management of the RIVM. The measurements are analysed by subtracting the natural background value. The resulting measurement data are corrected using the Actuele Blootstelling Correctiefactor (or ABC factor, meaning actual exposure correction factor). An ABC factor takes into account the specific use of the area where exposure to the gamma dose may occur. This translates into a maximum effective dose of 3.0 microsievert per year, which is far below the maximum permitted annual gamma dose.

This report provides the daily averages of the radiation dose recorded by the MONET monitors at the boundary of the COVRA N.V. site in 2018, and explains how the background level at each measuring location was determined.

Keywords: external radiation, ambient dose equivalent, COVRA, radioactive waste, storage

Inhoudsopgave

Samenvatting — 9

1 Inleiding — 11

- 1.1 De opdracht — 11
- 1.2 Uitvoering — 11
- 1.3 Leeswijzer — 11
- 1.4 Overzicht terreinopstelling COVRA — 12

2 De gemeten grootte — 13

- 2.1 Omgevingsdosistempo — 13

3 Metingen met het MONET-meetnet aan het terrein van COVRA in 2018 — 15

- 3.1 Operationaliteit van het MONET meetnet — 15
- 3.2 Het daggemiddelde omgevingsdosisequivalenttempo en de gemeten jaardosis in 2018 — 16

4 Bepaling van de door COVRA toegevoegde jaardosis in 2018 — 19

- 4.1 Bepaling van toegevoegde jaardosis — 19
- 4.2 Bepaling van het achtergrondniveau per monitor — 22

5 Verloop van de MONET metingen vanaf 2004 — 27

6 Conclusie — 31

7 Referenties — 33

Samenvatting

In opdracht van de Autoriteit Nucleaire Veiligheid en Stralingsbescherming (ANVS) verricht het centrum Veiligheid van het RIVM metingen van het externe gammastralingsniveau aan de terreingrens van de Centrale Organisatie voor Radioactief Afval (COVRA) te Borsele. Deze metingen worden uitgevoerd ter controle van de stralingsniveaus zoals vastgelegd in de vergunning van de COVRA ingevolge de kernenergiewet (KEW). Dit rapport beschrijft de resultaten van het MONET-meetnet in 2018.

In het rapport zijn de resultaten beschreven van gammastralingsniveaumetingen (zonder en met correctie voor het natuurlijke achtergrondstralingsniveau) aan de terreingrens van de COVRA. Radioactieve bronnen van buiten de COVRA kunnen verhogingen van het gammastralingsniveau veroorzaken. In dit rapport wordt er, op één uitzondering na, geen onderscheid gemaakt tussen deze twee bijdragen aan de gammastralingsdosis. Ook wordt het verloop in de tijd van het gammastralingsniveau van de meetposten vertoond. In 2018 waren twaalf gamma meetposten in bedrijf: zeven van deze meetposten zijn vanaf het jaar 2004 in bedrijf.

De maximale vastgestelde bijdrage van gammastraling van COVRA aan de effectieve jaardosis bedraagt 3,0 μSv in 2018. De bijdrage van gammastraling aan de effectieve dosis overschrijdt op geen van de meetpunten de vergunde verhoging van de effectieve dosis voor COVRA N.V. van 40 μSv per jaar.

1 Inleiding

Het centrum Veiligheid van RIVM voert continu metingen uit van het gammastralingsniveau aan de terreingrens van de Centrale Organisatie voor Radioactief Afval N.V. (COVRA) in de gemeente Borsele, met behulp van het MONET-meetnet¹.

1.1 De opdracht

De metingen zijn in 2018 uitgevoerd in opdracht van de Autoriteit Nucleaire Veiligheid en Stralingsbescherming (ANVS) ter controle van de door COVRA N.V. aan de achtergrond toegevoegde stralingsniveaus, die zijn gelimiteerd in de vergunning van COVRA ingevolge de Kernenergiewet.

Volgens voorschrift F.1 van de op 7 januari 2015 met kenmerk DGETM-PDNIV/14210039 verleende revisievergunning, later gewijzigd op 23 september 2016 met kenmerk ANVS-2016/9507 [1]:

"Met inachtneming van artikel 48 van het Besluit stralingsbescherming, juncto artikel 19 van het Besluit kerninstallaties, splijtstoffen en ertsen, dient COVRA ervoor te zorgen dat door alle aanwending en opslag van splijtstoffen, ertsen en radioactieve stoffen, met inbegrip van het zich daarvan ontdoen en het opslaan daarvan in verband met vervoer, tezamen met al het gebruik van ioniserende stralen uitzendende toestellen in de inrichting, voor personen buiten de inrichting de ontvangen effectieve dosis zo laag als redelijkerwijs mogelijk is, maar in ieder geval lager dan 40 microsievert per jaar. Als effectieve dosis geldt in het kader van dit voorschrift de Actuele Individuele Dosis (AID). Voor de bepaling van de AID gelden de regels als gegeven in de bijlage 1.5 (Rekenregels Analyse Gevolgen Ioniserende Straling) van de Uitvoeringsregeling stralingsbescherming EZ (Stcrt. 2013, 32478). De van toepassing zijnde ABC-factor volgt steeds uit tabel 6.2 van genoemde bijlage."

1.2 Uitvoering

In dit rapport wordt gebruik gemaakt van de metingen van het MONET-meetnet om een schatting te maken van de toegevoegde gamma dosis: het omgevingsdosisequivalent $H^*(10)$, toegevoegd aan (de dosis ten gevolge van) de natuurlijke achtergrondstraling. De stralingsdosis als gevolg van neutronen is in dit rapport buiten beschouwing gelaten.

Om de toegevoegde dosis te bepalen wordt dezelfde methode toegepast als in RIVM-rapport 2018-0126 [2]. Deze wijkt van de methode die tot 2014 is toegepast af [3], als gevolg van de voortschrijdende ontwikkelingen in de meetnetten.

1.3 Leeswijzer

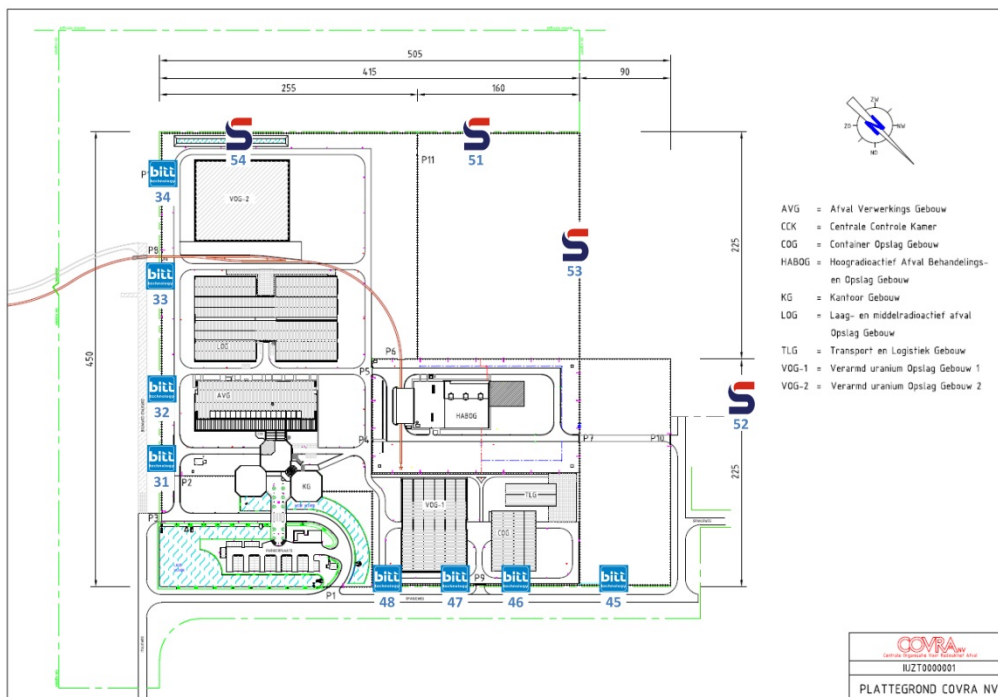
In dit rapport worden de metingen van de gamma stralingsdosis en de analyse voor het jaar 2018 beschreven. Het rapport is als volgt

¹ MOonitoring NEtwerk Terreinen

opgebouwd. In Hoofdstuk 2 wordt in het kort de meetgrootheid beschreven. Hoofdstuk 3 toont de metingen van het MONET-meetnet aan de terreingrens van COVRA. In Hoofdstuk 4 wordt de schatting van natuurlijke achtergrond berekend en de door menselijk handelen toegevoegde jaardosis voor iedere monitor bepaald. Hoofdstuk 5 toont het verloop van het daggemiddelde dosisequivalenttempo over de hele periode dat de meetposten in bedrijf zijn. In Hoofdstuk 6 worden de conclusies gegeven.

1.4 Overzicht terreinopstelling COVRA

Op de terreingrens van COVRA beheert het RIVM een netwerk van twaalf gammastralingsmeetposten langs een omheining van het COVRA terrein. Vier van deze meetposten zijn mobiele monitoren van het type Gamma TRACER-XL2 [4] (Geiger-Müller telbuis), en zijn op de huidige locatie in 2015 geplaatst vanwege de uitbreiding van het aantal gebouwen op het terrein. Deze monitoren hebben een zonnecel die een 12V accu bijlaadt en kunnen daarom zonder energievoorziening overal in Nederland autonoom functioneren. De overige acht meetposten zijn voorzien van monitoren van het type Bitt (proportionele telbuis). Deze zijn vanaf het jaar 2004 in gebruik, met uitzondering van meetpost 45 die in 2015 naar de huidige locatie is verplaatst. Figuur 1 geeft de locaties en het type van de monitoren weer.



Figuur 1 Overzicht terreinopstelling COVRA met de locaties van de MONET meetposten vanaf 10 april 2015.

2 De gemeten grootheid

2.1 Omgevingsdosistempo

De grootheid $\dot{H}^*(10)$ die door de MONET-monitoren wordt gemeten is de tijdsafgeleide van het omgevingsdosisequivalent $H^*(10)$, zoals gedefinieerd in [5]. In de vergunning [1] zijn de vergunningslimieten opgesteld in een limiterende grootheid, de effectieve dosis E . De bijdrage van de externe straling aan de effectieve dosis wordt E_{ext} genoemd. Ondanks het gebruik van de limiterende grootheid effectieve dosis E in de vergunning, wordt hier toch de grootheid $H^*(10)$ gebruikt. De reden hiervoor is dat de grootheid E_{ext} niet zonder uitgebreide aanvullende metingen van de energieverdeling van het gamma-stralingsveld is te bepalen. Vandaar dat, conform de aanbevelingen van de ICRP [6] de operationele grootheid $H^*(10)$ wordt gebruikt als schatting van E_{ext} . Van belang hierbij is om op te merken dat $H^*(10)$ een overschatting geeft van E_{ext} [6]. In het kader van de vergunningshandhaving wordt het verschil tussen de gemeten grootheid $H^*(10)$ en de limiterende grootheid E_{ext} vooral van belang op het moment dat $H^*(10)$ groter is dan de vergunningslimiet. Hier wordt nogmaals opgemerkt dat bij toetsen aan de vergunningslimiet de gebruiksoptie van de omgeving mag worden beschouwd [7].

De metingen van $\dot{H}^*(10)$ worden uitgevoerd met twee type monitoren: Bitt RS03/X proportionele telbuis en autonome GammaTRACER XL2 (Geiger-Müller telbuis [4]). De energierespons van beide type monitoren is zodanig dat de uitlezing overeenkomt met het omgevingsdosisequivalenttempo. De monitoren hebben een afzonderlijk hoekafhankelijkheid en een afzonderlijke gevoeligheid voor kosmische straling.

In het algemeen vertonen de Saphymo/Bertin Gamma-TRACER XL2 een toename van het achtergrondniveau van enkele nSv/h ten opzichte van de Bitt monitoren (8 nSv/h gemiddeld over het hele NMR netwerk van 150 monitoren in Nederland, zie Figuur 4.4 van [8]).

In een studie van de Bitt RS02 wordt de systematische onderschatting van de activiteit in de lucht geraamd op 3-7%, afhankelijk van de verdeling van de radionucliden in de lucht [9]. Met kennis van de natuurlijke achtergrond (nucliden en verdeling) kan hier voor worden gecorrigeerd. Na correctie resteert een absolute onzekerheid (2σ) in metingen van de natuurlijke achtergrond van minder dan $5 \text{ nSv}\cdot\text{h}^{-1}$ [9].

Een dergelijke studie is niet uitgevoerd voor de Saphymo /Bertin Gamma-TRACER XL2 of voor de Bitt RS03/485 of Bitt 485L monitor. Voor de Bitt RS03/485-monitor kan worden aangenomen dat systematische fouten en de absolute onzekerheid hetzelfde zijn van de Bitt RS02, gezien dezelfde opbouw van de proportionele telbuis.

Voor het uitvoeren van metingen van het omgevingsdosisequivalent met dosistempo-monitoren bestaat de norm NEN 5648 [10]. In deze norm wordt aangegeven hoe metingen moeten worden uitgevoerd en hoe

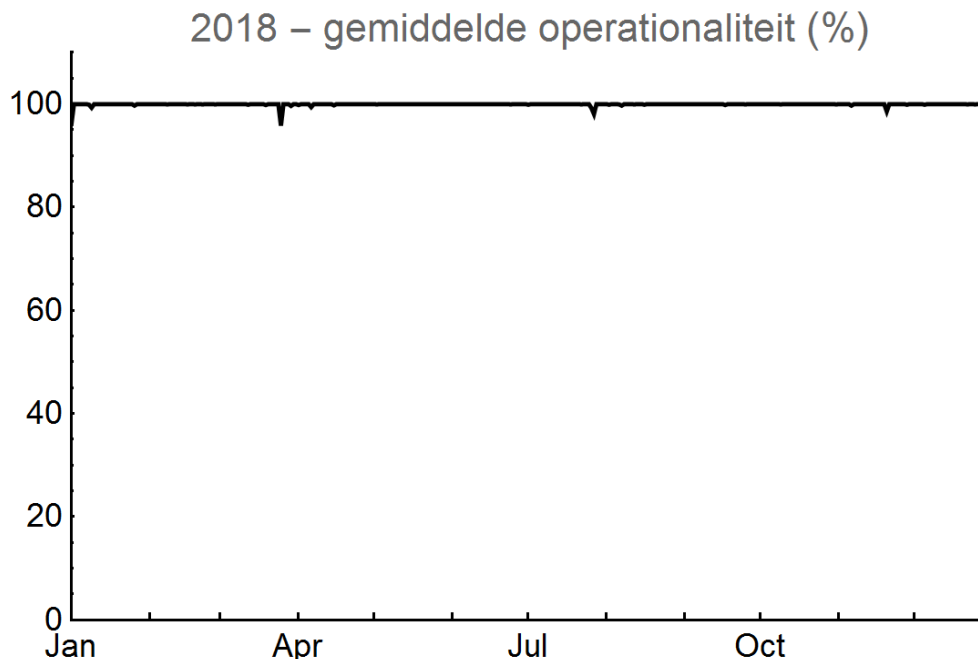
onzekerheden in rekening kunnen worden gebracht. Deze norm is bij de MONET-metingen deels toegepast, dat wil zeggen dat de kalibratie van de monitoren afwijkt van de norm. In de norm wordt aangegeven hoe de hoek- en energieafhankelijkheid in rekening gebracht kan worden als onderdeel van de totale onzekerheid in de meetresultaten. Gegevens over de hoek- en energieafhankelijkheid van de Bitt RS02 zijn te vinden in referenties [9, 11] en voor de Saphymo/Bertin Gamma-TRACER XL2 in [12]. Voor de Bitt RS02 bedraagt de onzekerheid, op basis van deze gegevens, volgens de norm circa 15%, en voor de Saphymo/Bertin Gamma-TRACER XL2 circa 19%, met name door de energieafhankelijkheid van de monitor.

3 Metingen met het MONET-meetnet aan het terrein van COVRA in 2018

In dit hoofdstuk wordt een analyse van de metingen over 2018 gepresenteerd. Het verloop gedurende het jaar van het gemeten daggemiddelde omgevingsdosisequivalenttempo en de gemeten jaardosis worden getoond voor iedere monitor. Het verloop van de MONET-metingen gedurende het jaar wordt gegeven samen met de voor iedere monitor berekende achtergrondwaarde. De achtergrondwaarde wordt hier berekend op basis van het gemiddelde van de daggemiddelden over de periode waarin metingen beschikbaar zijn. De berekende jaardosis, die mede door menselijk handelingen veroorzaakt wordt, wordt vervolgens per monitor bepaald.

3.1 Operationaliteit van het MONET meetnet

Er zijn in totaal 365 dagen in het jaar 2018 waarvoor metingen van het MONET-meetnet aan de terreingrens van COVRA beschikbaar zijn: in Figuur 2 is de gemiddelde operationaliteit per dag weergegeven. Het is de verhouding (in %) tussen het werkelijk aantal geregistreerde en bruikbare 10 minuutwaarden en het op een dag maximale aantal van 144 10 minuutwaarden. De gemiddelde operationaliteit van het netwerk over het hele jaar is groter dan 99.95%.



Figuur 2 Gemiddelde operationaliteit per dag van MONET aan de terreingrens van COVRA in 2018.

3.2 Het daggemiddelde omgevingsdosisequivalenttempo en de gemeten jaardosis in 2018

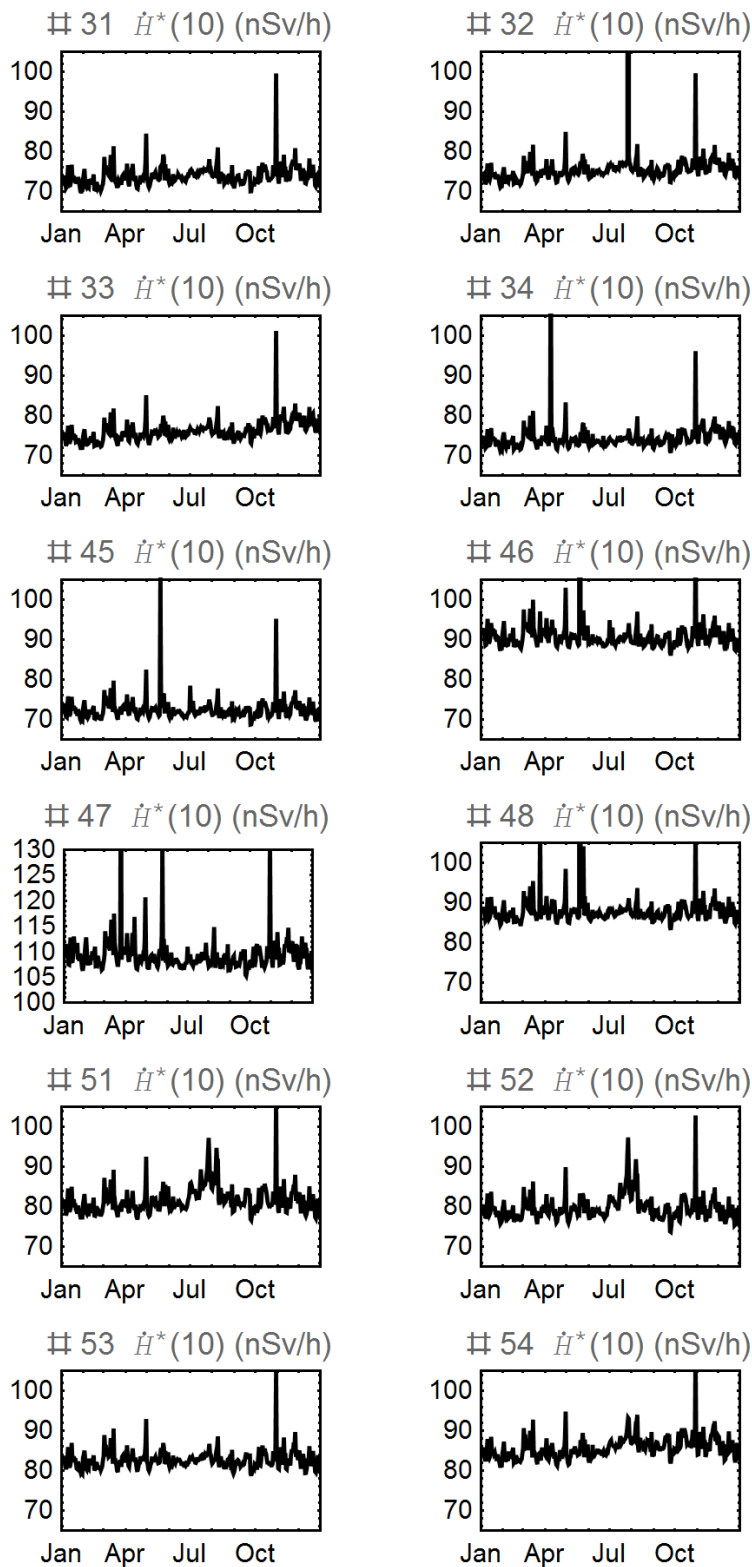
De daggemiddelde omgevingsdosisequivalenttempi $\dot{H}^*(10)$, niet gecorrigeerd voor achtergrondstraling, voor de MONET-monitoren in 2018 worden weergegeven in Figuur 3.

De hoogste waarde van het daggemiddelde omgevingsdosisequivalenttempo is $1104 \text{ nSv}\cdot\text{h}^{-1}$ voor monitor 47 op 20 mei. Op die dag zijn er NDO werkzaamheden door derden verricht. Hierdoor heeft deze monitor 21 keer een dosistempo (gemiddeld over 10-minuten) hoger dan $300 \text{ nSv}\cdot\text{h}^{-1}$ gemeten, met een totale (bruto) dosis van $24 \mu\text{Sv}$ tijdens de NDO werkzaamheden. Omdat deze dosis niet door COVRA is veroorzaakt, zijn deze waarden uitgefilterd in de analyse in dit rapport. De op-één-na hoogste waarde van het daggemiddelde omgevingsdosisequivalenttempo is $463 \text{ nSv}\cdot\text{h}^{-1}$ voor monitor 32 op 27 juli. Dat wordt veroorzaakt door vijf achtereenvolgende 1-min metingen (beginnend om 14:17 UTC) die variëren tussen 85400 nSv/h en 121000 nSv/h , waarvan de oorzaak onbekend is. Aangezien de dichtstbijzijnde monitoren geen verhoging registreren, is deze waarde waarschijnlijk een artefact afkomstig van hoge temperaturen tijdens een hittegolf. Er zijn hoge daggemiddelde doses geregistreerd van 246 en $242 \text{ nSv}\cdot\text{h}^{-1}$ door monitor 46 en 48 respectievelijk, ook op 20 mei 2018 bij NDO werkzaamheden. Er zijn ook verhogingen zichtbaar op dagen met hevige neerslag. De verhogingen van de monitoren M51, M52 en - in mindere mate - van M54 tussen eind juli en begin augustus zijn echter aan de temperatuurafhankelijkheid van de monitoren toe te schrijven, en niet aan hevige neerslag.

In Tabel 1 wordt de gemeten jaardosis gegeven, berekend als de som van de daggemiddelden, samen met het aantal dagen waarover metingen beschikbaar zijn voor de bepaling van de jaardosis. Voor monitor 47 wordt ook de dosis gegeven na het aftrekken (uitfilteren) van de dosis van $24 \mu\text{Sv}$. Deze dosis wordt veroorzaakt door NDO werkzaamheden door derden.

Tabel 1 De jaardosis (μSv) door de MONET-monitoren bij COVRA in 2018, niet gecorrigeerd voor de achtergrond. Voor monitor 47 wordt tussen haakjes de gemeten jaardosis getoond, na het uitfilteren van de metingen die tijdens NDO werkzaamheden geregistreerd zijn.

MONET-monitor	Aantal dagen	Gemeten jaardosis (μSv)
31	365	647
32	365	669
33	365	666
34	365	651
45	365	634
46	365	797
47	365	982 (958 uitgefilterd)
48	365	774
51	365	716
52	365	698
53	365	725
54	365	751



Figuur 3 Het gemeten daggemiddelde omgevingsdosis-equivalenttempo voor de MONET-monitoren aan de terreingrens van COVRA in 2018 (nSv·h⁻¹). De figuur voor monitor 47 heeft een andere schaalverdeling voor de y-as.

4 Bepaling van de door COVRA toegevoegde jaardosis in 2018

4.1 Bepaling van toegevoegde jaardosis

De hier toegepaste methode is hetzelfde van RIVM-rapport 2018-0126 [2] en is uitvoerig beschreven in het RIVM-rapport 2017-0053 [13]. Alleen metingen van het MONET-netwerk zelf worden voor de analyse gebruikt, in tegenstelling tot de methode die tot en met 2014 gebruikt is [14], waarbij het landelijk NMR-meetnet voor de bepaling van de natuurlijke achtergrond gebruikt wordt. De reden hiervoor zijn onder anderen het gebruik van twee verschillende type stralingsmonitoren voor het COVRA MONET netwerk: proportionele telbuizen voor monitoren 31 t/m 45, en Geiger-Müller telbuizen [4] voor monitoren 51 t/m 54.

Om een onderscheid te kunnen maken tussen de dosis die door menselijk handelen wordt veroorzaakt en de variatie in de natuurlijke achtergrond, wordt voor ieder monitor de natuurlijke achtergrond bepaald. In het kort gaat de methode als volgt:

1. Voor elke monitor i wordt het jaargemiddelde A_i en de standaarddeviatie σ_i van het daggemiddelde omgevingsdosisequivalent $\dot{H}^*(10)$ bepaald.
2. Dagen met verhogingen ($\dot{H}^*(10) > A_i + 2\sigma_i$) worden geïdentificeerd en buiten beschouwing gelaten. Het jaargemiddelde A_i en de standaarddeviatie σ_i wordt herberekend: dit is een schatting voor de variatie van de natuurlijke achtergrond, die varieert tussen $A_i - 2\sigma_i$ en $A_i + 2\sigma_i$.
3. De waarde van $2\sigma_i$ kan worden beschouwd als het aantoonbaarheidsniveau van de betreffende monitor i .
4. De door menselijk handelen toegevoegde jaardosis wordt bepaald door het stralingsniveau op alle dagen met $(\dot{H}^*(10) > A_i + 2\sigma_i)$ op te tellen.

Met deze methode, de ' $>2\sigma$ -methode', kan een groot deel van de kunstmatige verhogingen worden bepaald, en dus de toegevoegde jaardosis ten opzichte van de natuurlijke achtergrond. Het gemeten niveau van de achtergrond heeft geen invloed op de toegevoegde jaardosis; per type monitor kan het achtergrondniveau gemiddeld 8 nSv/h verschillen.

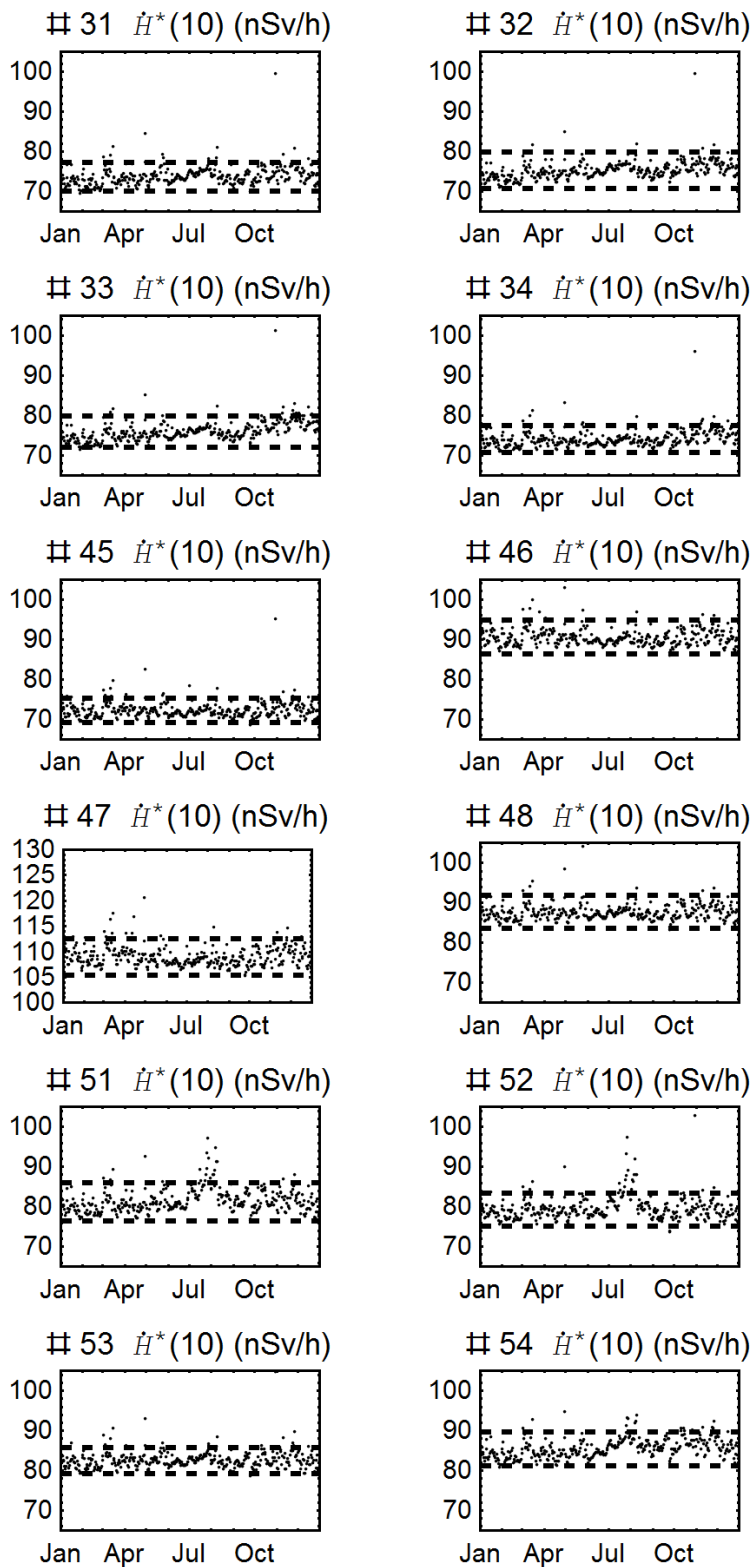
Aan de met deze methode toegevoegde jaardosis kunnen ook verhoogde stralingsniveaus bijdragen die gegeven zijn door niet-destructief onderzoek dat plaatsvindt bij een bedrijf in de omgeving van de COVRA, en verhogingen door transport van radioactief materiaal naar de COVRA.

Deze methode kan echter niet alle natuurlijke verhogingen bepalen, zoals hevige regenval die doorgaans wordt gevolgd door een verhoogde depositie van vervalproducten van radon. Dit kan een verhoging van het omgevingsdosisequivalenttempo $\dot{H}^*(10)$ veroorzaken, en dus een mogelijke overschatting van de jaardosis.

Volgens deze methode wordt in de volgende paragrafen voor iedere monitor de achtergrondwaarde en het aantoonbaarheidsniveau bepaald

voor het jaar 2018. Indien de toegevoegde dosis niet alleen door piekbijdragen bepaald wordt, maar ook door continue bijdragen, wordt er gebruik gemaakt van de achtergrondwaarde die voor eerdere jaren bepaald is. Dit is bijvoorbeeld het geval voor monitor M47, door het vullen van het VOG gebouw (te zien in Figuur 7) en voor monitor M54, door het vullen van het VOG-2 gebouw vanaf april 2017 (te zien in Figuur 8).

In Figuur 4 worden dezelfde data van Figuur 3 getoond: de daggemiddelden van $\dot{H}^*(10)$, samen met het bepaalde achtergrondniveau en het aantoonbaarheidsniveau (zie Tabel 2). Deze informatie wordt gebruikt om de dagen waarin verhogingen hebben plaatsgevonden te bepalen. De door menselijk handelen toegevoegde jaardosis wordt berekend voor de dagen waarop $\dot{H}^*(10)$ het achtergrondniveau overstijgt.



Figuur 4 Het daggemiddelde omgevingsdosis-equivalenttempo $\dot{H}^*(10)$ voor de MONET-monitoren aan de terreingrens van COVRA in 2018 samen met, als gestippelde lijnen, de variatie van de natuurlijke achtergrond. De figuur voor monitor 47 heeft een andere schaalverdeling voor de y as.

4.2 Bepaling van het achtergrondniveau per monitor

Voor de monitoren M34, M46, M47, M48 en M54 is het achtergrondniveau sinds het begin van de metingen met het MONET-meetnet toegenomen (zie Hoofdstuk 5). Voor deze monitoren wordt deze toename ook verdisconteerd in de bepaling van de door COVRA toegevoegde dosis. Een overzicht van het bepaalde achtergrondniveau is in Tabel 2 weergegeven.

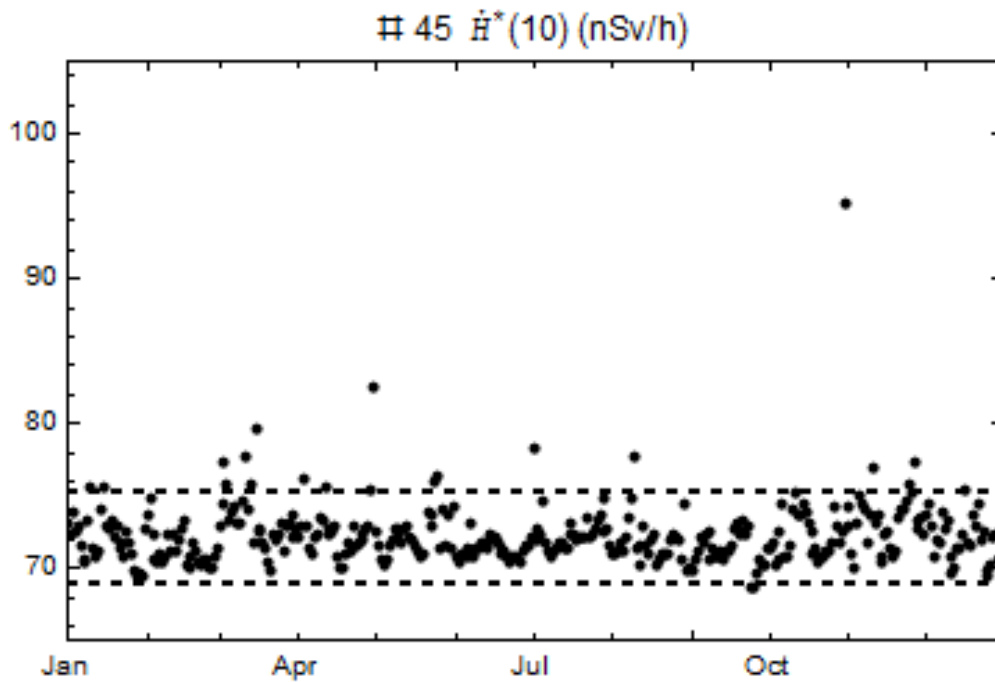
Tabel 2 Het aantal dagen dat is gebruikt bij de bepaling van het achtergrondniveau in 2018, het aantal dagen met vastgestelde verhogingen, het berekende achtergrondniveau, en de aantoonbaarheidsniveaus voor de MONET-monitoren bij COVRA in 2018.

MONET-monitor 2018	aantal dagen berekening achtergrond	aantal dagen met verhogingen in 2018	achtergrond (nSv·h⁻¹) [eerder jaar, uit Tabel 5]*	aantoonbaarheidsniveau* (nSv·h⁻¹)
31	346	19	73,7	3,5
32	357	8	75,3	4,6
33	342	23	75,9	3,9
34	346	19	74,1 [69,5]*	3,4 [2,7]*
45	343	22	72,1	3,1
46	350	15	90,5 [73,2]*	4,3 [3,0]*
47	343	22	109,0 [75,2]*	3,5 [4,5]*
48	353	12	87,8 [72,3]*	4,1 [3,6]*
51	341	24	81,3 [79,8]*	4,8 [4,5]*
52	333	32	79,3	4,1
53	341	24	82,5	3,2
54	342	23	85,5 [79,6]*	4,3 [4,6]*

* Tussen vierkante haakjes staan het achtergrondniveau en het aantoonbaarheidsniveau uit eerdere jaren indien het stralingsniveau in de loop der jaren is toegenomen (zie Hoofdstuk 5). Voor monitor M46 wordt het achtergrondniveau uit 2005 genomen, voor de monitoren M47 en M48 uit 2006 en voor de monitoren M34, M51 en M54 uit het jaar 2016 (overgenomen uit Tabel 5).

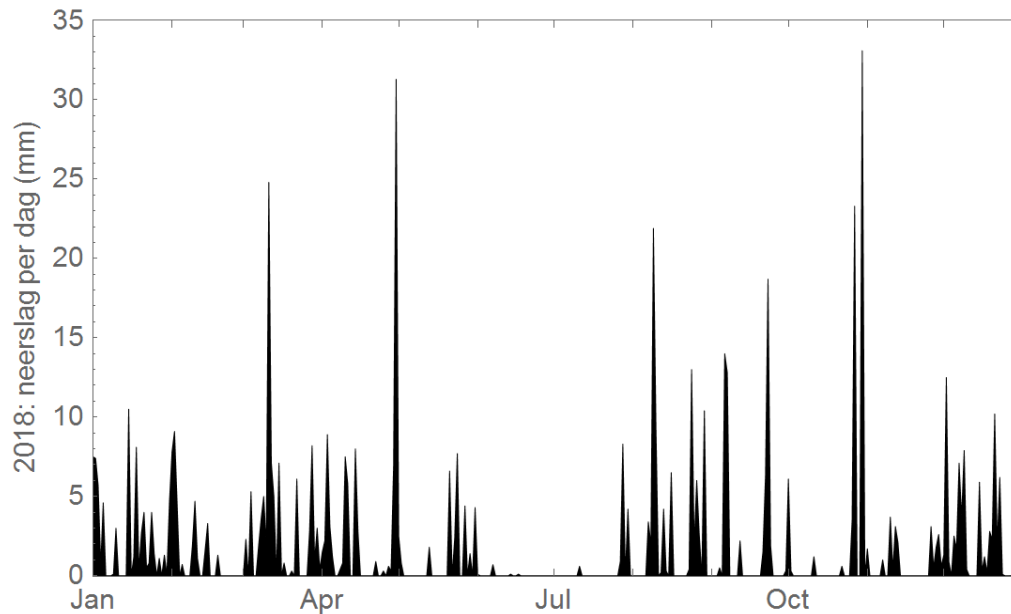
Hevige regenval heeft als gevolg verhoogde depositie van vervalproducten van radon, en dus een verhoging van het omgevingsdosis-equivalenttempo. Drie pieken, aanwezig op alle MONET-monitoren rond het terrein van COVRA, zie bijvoorbeeld Figuur 5, vallen samen met dagen wanneer de dagelijkse neerslag 25 mm of hoger was, gemeten op het KNMI station Vlissingen (Figuur 6): 33 mm op 30 oktober, 31 mm op 30 april en 25 mm op 11 maart.

De hier toegepaste methode kan geen onderscheid maken tussen een ongewoon grote variatie van de natuurlijke achtergrondstraling ($>2\sigma$, zie Hoofdstuk 3 hierboven), en verhogingen die door COVRA zijn: de gemeten $\dot{H}^*(10)$ van dagen met hevige regenval kan dus een bijdrage aan de berekende jaardosis leveren.



Figuur 5 Het gemeten omgevingsdosisequivalenttempo voor monitor 45 in 2018 (uit Figuur 4) samen met de natuurlijke achtergrond en de spreiding als gestippelde lijnen over het jaar.

Figuur 5 samen met Figuur 6 laat zien dat verhogingen waarschijnlijk aan weeromstandigheden zijn toe te schrijven, omdat een verhoging van het omgevingsdosisequivalenttempo samenvalt met hevige neerslag.



Figuur 6 Neerslag per dag, in mm, gemeten door het KNMI weerstation van Vlissingen (bron: KNMI). Hevige neerslag op 11 maart, 30 april en 30 oktober 2018 valt samen met een verhoging van het omgevingsdosisequivalenttempo van alle monitoren van het MONET-meetnet.

Voor enkele monitoren is $\dot{H}^*(10)$ in het huidige verslagjaar 2018, of in voorgaande jaren, blijvend toegenomen, zoals beschreven in Hoofdstuk 5: deze toename is niet altijd zichtbaar in Figuur 4, die alleen betrekking heeft op het jaar 2018. Voor het bepalen van de jaardosis van deze monitoren (M34, M46, M47, M48, M51 en M54) moet ook rekening worden gehouden met de toegenomen achtergrondwaarde van voorgaande jaren voor het bepalen van de jaardosis. Het betreft het jaar 2005 voor monitor M46, het jaar 2006 voor monitoren M47 en M48, en het jaar 2016 voor de monitoren M34, M51 en M54: dit wordt in Tabel 3 samengevat. De toegenomen jaardosis ten opzichte van het referentiejaar is het verschil tussen de dosis per monitor in 2018 en het referentiejaar: dit wordt bijvoorbeeld gegeven door het langzaam vullen van een gebouw met radioactief afval. Daarom wordt er, voor monitor M47 bijvoorbeeld, in 2018 een toename van $33,8 \text{ nSv}\cdot\text{h}^{-1}$ ten opzichte van het jaar 2016 geregistreerd, en dat komt overeen met een toename van de jaardosis van $296,1 \text{ }\mu\text{Sv}/\text{j}$ als gevolg van de achtergrond (zie Tabel 3). Aan deze waarde wordt nog de verhoging van $4,7 \text{ }\mu\text{Sv}$ t.o.v. de achtergrond die voor 2018 is vastgesteld (zie Tabel 4).

Tabel 3 Voor het bepalen van de jaardosis voor de monitoren M34, M46, M47, M48, M51 en M54 wordt de achtergrondwaarde van een referentiejaar gebruikt.

MONET-monitor	jaar	achtergrond (nSv·h ⁻¹) uit Tabel 2	referentiejaar	achtergrond (nSv·h ⁻¹) uit referentiejaar uit Tabel 5	toename jaardosis t.o.v. referentiejaar (μSv/j)
34	2018	74,1	2016	69,5	40,3
46	2018	90,5	2005	73,2	151,6
47	2018	109,0	2006	75,2	296,1
48	2018	87,8	2006	72,3	135,8
51	2018	81,3	2016	79,8	13,1
54	2018	85,5	2016	79,6	51,7

De door COVRA toegevoegde jaardosis in 2018 is per monitor weergegeven in Tabel 4.

Tabel 4 Berekende jaardosis (μSv) voor de COVRA-MONET monitoren in 2018.

Monitor	jaardosis (μSv) in 2018	ABC-factor	jaardosis na toepassing ABC-factor (μSv) in 2018
31	2,9	0,01	0,03
32	10,8	0,01	0,11
33	3,3	0,01	0,03
34	44,2 [#]	0,01	0,4
45	3,7	0,01	0,04
46	157,9 [#]	0,01	0,6
47	300,8 [#]	0,01	3,0
48	142,2 [#]	0,01	1,4
51	18,3 [*]	0,01	0,18
52	5,8	0,2	1,16
53	3,2	0,2	0,6
54	55,4 [#]	0,01	0,56

[#] De jaardosis van de monitoren M34, M46, M47, M48, M51 en M54 is berekend uit de kunstmatig toegevoegde dosis in 2018 met het achtergrondniveau van 2005 voor monitor M46, van 2006 voor M47 en M48 en van 2016 voor M34, M51 en M54; zie Hoofdstuk 5.

Voor de monitoren M51, M52, M53 en M54 is de bepaalde jaardosis een overschatting, omdat de zichtbare, tijdelijke toename tussen eind juli en begin augustus aan een sterke temperatuurafhankelijkheid van de monitoren toegeschreven kan worden.

De hoogste jaardosis is 300,8 μSv voor monitor M47. Deze wordt veroorzaakt door de berekende dosis (4,7 μSv) veroorzaakt door pieken in 2018 en de toegenomen jaardosis van 296,1 μSv ten opzichte van het jaar 2006, zoals weergegeven in Tabel 3 (zie ook Hoofdstuk 5). Bij het toetsen aan de vergunningslimiet per jaar (40 μSv) wordt de dosis vermenigvuldigd met de ABC-factor. Na toepassing van de ABC-factor is de hoogste bepaalde jaardosis 3,0 μSv door monitor M47.

5 Verloop van de MONET metingen vanaf 2004

Het is mogelijk dat bij een monitor het stralingsniveau gedurende een (deel) van het jaar structureel is verhoogd, bijvoorbeeld door een continue aanwezigheid van een hoeveelheid radioactief materiaal in de buurt van die monitor. In dat geval is het gemiddelde van het omgevingsdosisequivalenttempo $\dot{H}^*(10)$ over het hele jaar geen bruikbaar uitgangspunt voor de berekening van de door menselijk handelen toegevoegde dosis. Zou dat het geval zijn, dan kan het gemiddelde berekend worden voor dat deel van het jaar dat het stralingsniveau nog niet verhoogd was. Als een dergelijke verhoging in voorgaande jaren heeft plaatsgevonden, dan wordt de gemiddelde waarde van één van de voorgaande jaren gebruikt als uitgangspunt voor de dosisberekening. Dat is het geval voor monitoren 46, 47 en 48 langs de Spanjeweg, en voor de monitoren 34 en 54 bij het VOG-2 gebouw. Dagen waarop piekverhogingen zijn vastgesteld worden in de berekening van het achtergrondniveau niet meegenomen.

In Figuur 7 wordt het verloop van het daggemiddelde omgevingsdosisequivalenttempo vanaf het jaar 2004 getoond, en in Figuur 8 vanaf het jaar 2015. Het hoog radioactief afval behandeling en opslaggebouw (HABOG) is sinds 2003 in bedrijf. Bij meetpost M32 is er zowel in mei 2012 als op 18 maart 2016 een nieuwe monitor geplaatst; vanwege de intrinsieke verschillen tussen de geplaatste monitoren is er een afname van het gemeten omgevingsdosisequivalenttempo tussen 2012 en 2016 geregistreerd. Deze afname is enkel gegeven door het verwisselen van de monitoren en is dus niet aan een daadwerkelijke afname van het omgevingsdosisequivalenttempo toe te schrijven.

De daling bij M46 in 2003 wordt veroorzaakt door een herschikking van het calcinaat in het COG, de stijgingen in 2006 en 2007 wordt mogelijk veroorzaakt door de toenemende calcinaatopslag in het COG.

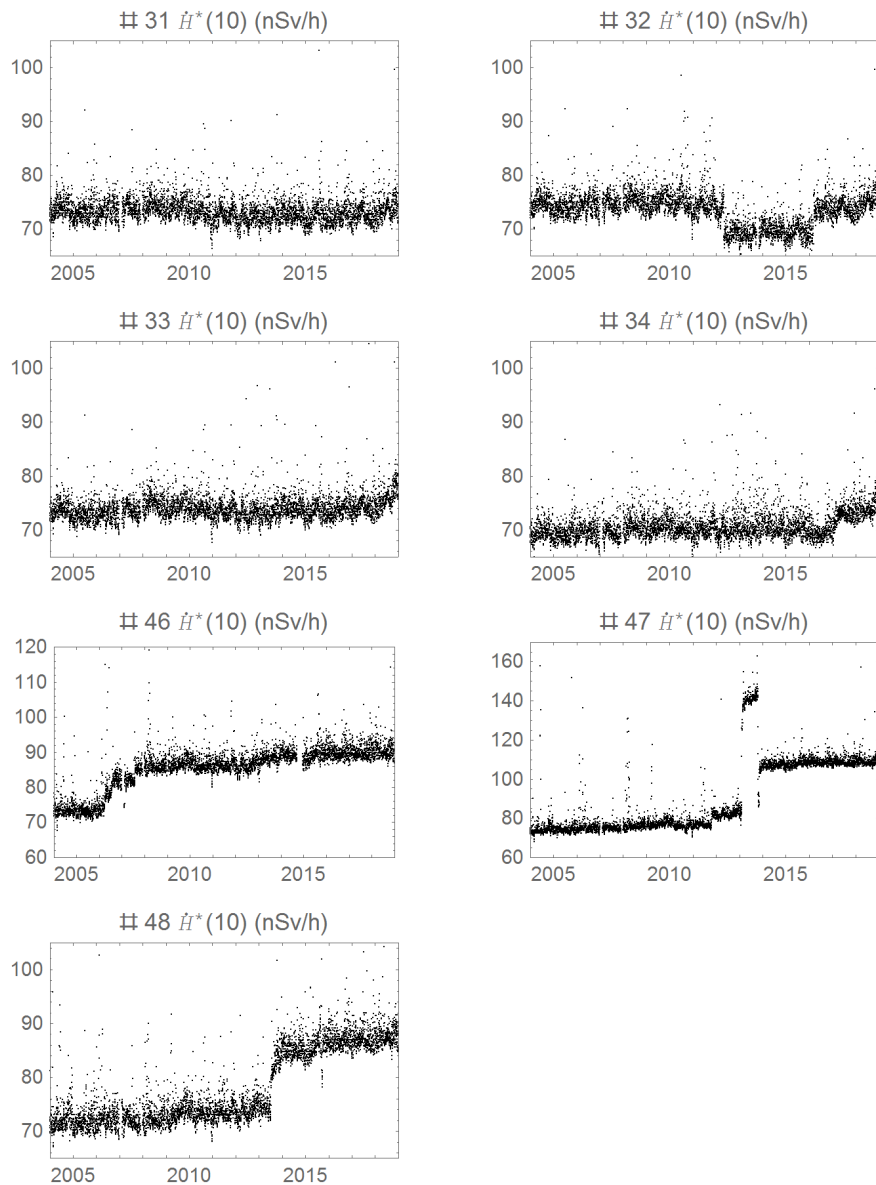
De toename van M47 en M48 vanaf 2013 is veroorzaakt door het vullen van het VOG: bij M47 is er in de loop van het jaar 2013 een afscherming geplaatst die tot een afname leidt [14]. In april 2017 zorgt de ingebruikname van het VOG-2 voor een toename. Omdat de reden voor de toename van de stralingsdosistempo van M34, M46, M47, M48, M51 en M54 toegeschreven kan worden aan de uitbreiding van de bedrijfsactiviteiten van de COVRA, wordt voor de bepaling van het door COVRA toegevoegde dosistempo met de toename vanaf het beginperiode rekening gehouden. Voor meetpost 46 wordt het jaar 2005 als referentie gebruikt, en voor meetposten M47 en M48 het jaar 2006, en voor meetposten M34, M51 en M54 het jaar 2016, zoals in Tabel 5 is weergegeven.

Tabel 5 Het achtergrondniveau van het jaar 2005 voor meetpost M46, van het jaar 2006 voor de monitoren M47 en M48, en van het jaar 2016 voor de monitoren M34, M51 en M54 worden gebruikt om de door menselijk handelen toegevoegde jaardosis te bepalen.

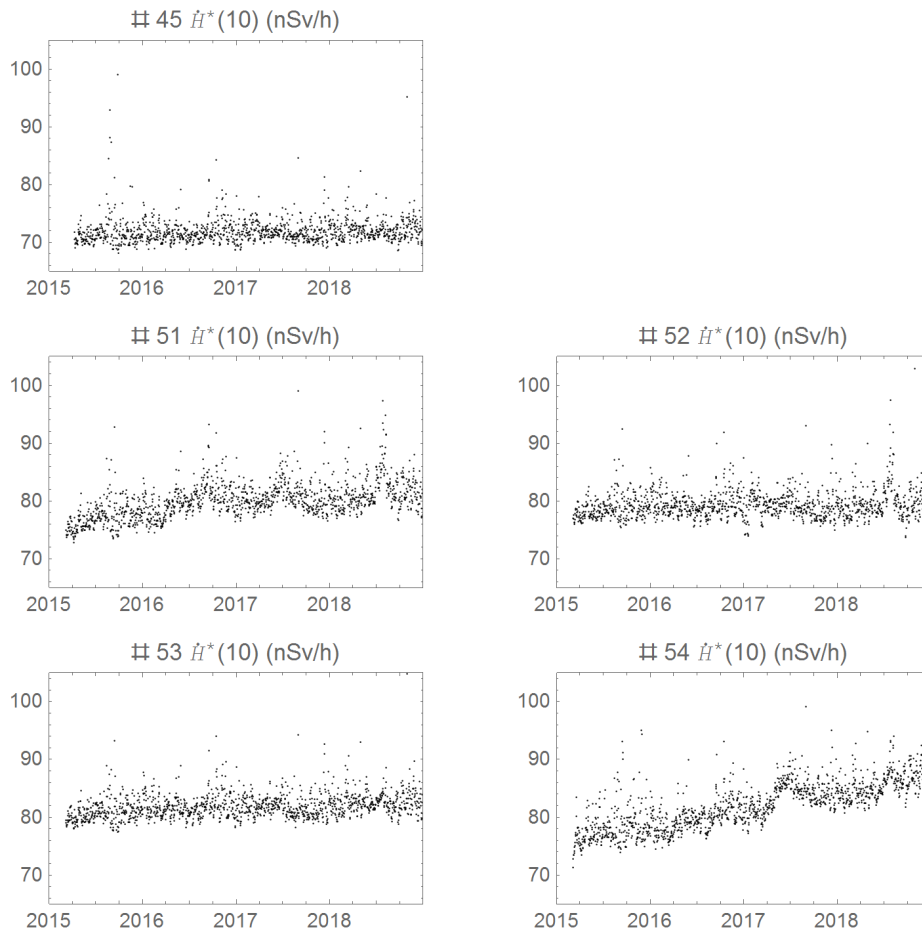
MONET- monitor	jaar	aantal dagen berekening achtergrond	aantal dagen met verhogingen	achtergrond (nSv·h⁻¹)	aantoon- baarheids- niveau (nSv·h⁻¹)
34	2016	331	35	69,5	2,7
46	2005	361	4	73,2	3,0
47	2006	355	10	75,2	4,5
48	2006	355	10	72,3	3,6
51	2016	343	23	79,8	4,5
54	2016	340	26	79,6	4,2

In april 2017 is het gebouw VOG-2 in bedrijf genomen: de daarbij gepaarde verhoging van $\dot{H}^*(10)$ die door de monitoren M34, M51 en M54 wordt gemeten is, respectievelijk, in Figuur 7 en Figuur 8 zichtbaar.

De toename die tussen eind juli en begin augustus 2018 door de drie meetposten M51, M52 en – in mindere mate - M54 geregistreerd wordt kan op een sterke temperatuur afhankelijkheid van de monitoren toegeschreven worden: daarom zijn deze monitoren in de loop van 2019 vervangen.



Figuur 7 Verloop van het daggemiddelde omgevingsdosistempo vanaf het jaar 2004 voor zeven van de huidige twaalf COVRA meetposten. De figuren voor de monitoren 46 en 47 hebben een andere schaalverdeling voor de y as. Voor de bepaling van het door menselijk handelen toegevoegde dosistempo voor meetpost 46 wordt het jaar 2005 als referentie gebruikt, voor meetposten 47 en 48 het jaar 2006 en voor meetpost 34 het jaar 2016.



Figuur 8 Verloop van het daggemiddelde omgevingsdosistempo vanaf het jaar 2015 voor de nieuw geplaatste meetposten 51 t/m 54, en van meetpost 45, die verplaatst is. Voor de bepaling van het door menselijk handelen toegevoegde dosistempo voor meetpost 51 en 54 wordt het jaar 2016 als referentie gebruikt. De toename die tussen eind juli en begin augustus 2018 door de drie meetposten M51, M52 en M54 geregistreerd wordt kan op een sterke temperatuur afhankelijkheid van de monitoren toegeschreven worden: daarom zijn deze monitoren in de loop van 2019 vervangen.

6 Conclusie

In 2018 zijn metingen uitgevoerd van het gammastralingsniveau aan de terreingrenzen van COVRA N.V. te Borsele met het MONET-meetnet. Om de door COVRA toegevoegde jaardosis ten gevolge van gammastraling te kunnen bepalen is het niveau van de natuurlijke achtergrond berekend.

Aan de met deze methode toegevoegde jaardosis kunnen ook verhoogde stralingsniveaus bijdragen die gegeven zijn door niet-destructief onderzoek dat plaatsvindt bij een bedrijf in de omgeving van de COVRA, en verhogingen door transport van radioactief materiaal naar de COVRA.

In 2018 is M47 de monitor met de hoogste jaardosis, 298,2 μSv . Dit is een netto dosisequivalent, dus met aftrek van de achtergrond. Na correctie voor de ABC-factor om de gebruiksoptie van de omgeving in rekening te brengen is de effectieve jaardosis 3,0 μSv . De bijdrage van gammastraling aan de effectieve dosis heeft in 2018 op geen van de meetpunten de vergunde verhoging van de effectieve dosis voor de COVRA N.V. van 40 μSv per jaar overschreden.

7 Referenties

- [1] Revisievergunning verleend op 7 januari 2015 met kenmerk DGETM-PDNIV/14210039, later gewijzigd op 23 september 2016 met kenmerk ANVS-2016/9507
- [2] Tanzi, C.P., Gammastralingsniveaumetingen aan de terreingrens van COVRA N.V. te Borsele in 2017 met het MONET-meetnet, RIVM Briefrapport nr. 2018-0126, Bilthoven, 2018
- [3] Reinen HAJM, Stoop P, Slaper H, Methode voor de bepaling van het aan de achtergrond toegevoegde stralingsniveau voor het MONET meetnet, RIVM rapport nr. 610330021, Bilthoven, juni 2000 (Beperkte verspreiding).
- [4] Manual GammaTRACER XL2, Saphymo, version 08/2012
- [5] International Commission on Radiation Units and Measurements. Quantities and units in radiation protection dosimetry, ICRU Report 51, Bethesda MD (1993).
- [6] ICRP publication 116, Conversion Coefficients for Radiological Protection for External Radiation Exposures, ISSN 0146-6453, Ann. ICRP 40(2-5), 2010.
- [7] Verordening van de Autoriteit Nucleaire Veiligheid en Stralingsbescherming van 9 januari 2018, nr. ANVS-2018/137, houdende nadere regels ter bescherming van personen tegen de gevaren van blootstelling aan ioniserende straling (ANVS-verordening basisveiligheidsnormen stralingsbescherming)
(Tot de inwerkingtreding van deze regeling op 6 februari 2018: Regeling van de Minister van Economische Zaken, de Minister van Sociale Zaken en Werkgelegenheid en de Minister van Volksgezondheid, Welzijn en Sport van 18 oktober 2013, nr. WJZ/12066857, tot vaststelling van de uitvoeringsregeling voor stralingsbescherming van de Minister van Economische Zaken, Uitvoeringsregeling stralingsbescherming EZ, BWBR0034213)
- [8] Tanzi CP (ed.), Environmental radioactivity in the Netherlands, Results in 2016, RIVM Report 2018-0168 (2018).
- [9] Smetsers RCGM, Blaauboer RO, Variations in outdoor radiation levels in the Netherlands, proefschrift, Universiteit Groningen, april 1996, ISBN 90-367-0621-1.
- [10] Nederlands Normalisatie-instituut, NEN 5648:2007 nl, Radioactiviteitsmetingen - Bepaling van het over de tijd gemiddelde omgevingsdosisequivalenttempo met momentaan aanwijzende apparatuur, 2007.
- [11] Dijk van E, Aalbers AHL, De calibratie en de energieresponsie van de Bitt RM10/RS02 gammastralingsdetectoren, RIVM rapport nr. 243504003, Bilthoven, maart 1990.
- [12] R. Tax, P. den Outer, Meetonzekerheid Saphymo Gammatracers, RIVM interne RIVM document (ref. itask 05146), 10 september 2018.
- [13] Tanzi, C.P., Stralingsniveaumetingen rond het terrein van de EPZ kerncentrale te Borssele in 2015, RIVM-rapport 2017-0053, 2017.
- [14] Tanzi, C.P., Stralingsniveaumetingen rond het terrein van COVRA N.V. te Borsele in de periode 2011-2014 met het MONET-meetnet, RIVM Rapport nr. 2016-0105, Bilthoven, september 2016.

RIVM

De zorg voor morgen begint vandaag